

## УСТОЙЧИВОСТЬ ПЛОСКОЙ ФОРМЫ ИЗГИБА ЗА ПРЕДЕЛОМ УПРУГОСТИ

Л. М. Качанов

(Ленинград)

Явление потери устойчивости плоской формы изгиба идеально упругих полос было изучено в работах Прандтля, Майчела, Тимошенко и других авторов. В современных конструкциях нередко допускают при изгибе пластические деформации; строительные конструкции рассчитываются по предельным нагрузкам, т. е. по условиям работы в пластической стадии.

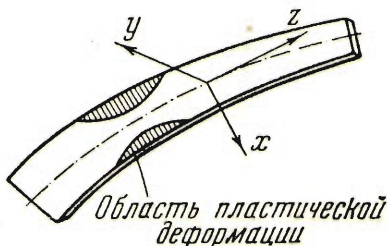
В связи с этим большое практическое значение приобретает вопрос об устойчивости плоской формы изгиба при упруго-пластических деформациях.

Этот вопрос подробно обсуждается в книге С. П. Тимошенко<sup>[1]</sup>, который рекомендует пользоваться модулем Кармана вместо модуля упругости. Этот прием, как устанавливается ниже, является неудовлетворительным. Заметим, что несостоятельность подобного приема в задачах устойчивости пластин и оболочек за пределом упругости показана А. А. Ильюшиным<sup>[2]</sup>.

В настоящей работе рассматривается вопрос об устойчивости плоской формы изгиба за пределом упругости, исходя из теории малых упруго-пластических деформаций.

**1. Постановка задачи.** Рассмотрим криволинейную полосу, ось которой до потери устойчивости является плоской кривой. Полоса изгибается в

	$x$	$y$	$z$
$x_0$	1	$-\gamma$	$\beta$
$y_0$	$\gamma$	1	$-\alpha$
$z_0$	$-\beta$	$\alpha$	1



Фиг. 1

своей плоскости силами и моментами, причем возникают области пластической деформации (фиг. 1).

Пусть  $x, y, z$  — триэдр подвижных осей. Одну из главных осей инерции поперечного сечения мы считаем лежащей в плоскости полосы; тогда оси  $x, z$  лежат в этой же плоскости.

Триэдр осей, отнесенный к недеформированной полосе, отличаем нулевым индексом ( $x_0, y_0, z_0$ ).

Косинусы углов между осями обоих триэдров определяются таблицей, представленной здесь выше.

В дальнейшем будем пользоваться уравнениями Кирхгофа-Клебша, что представляет известные удобства.

Уравнения Кирхгофа при указанном выборе осей координат записываются в форме

$$\begin{aligned} \frac{dV_x}{ds} + qV_z - rV_y + F_x &= 0, & \frac{dL_x}{ds} + qL_z - rL_y - V_y &= 0 \\ \frac{dV_y}{ds} + rV_x - pV_z + F_y &= 0, & \frac{dL_y}{ds} + rL_x - pL_z + V_x &= 0 \\ \frac{dV_z}{ds} + pV_y - qV_x + F_z &= 0, & \frac{dL_z}{ds} + pL_y - qL_x &= 0 \end{aligned} \quad (1.1)$$

где  $(V_x, V_y, V_z), (L_x, L_y, L_z)$  — соответственно векторы усилия и момента,  $(F_x, F_y, F_z)$  — вектор внешней нагрузки на единицу длины оси полосы,  $p, q, r$  — кривизны и кручение оси. Величины  $V_y, L_x, L_z, F_y, p, r$  считаем малыми, рассматривая их как «воздушения».

Уравнения Клебша имеют вид:

$$\begin{aligned} \beta &= q_0 w + \frac{du}{ds}, & p &= \gamma q_0 + \frac{d\alpha}{ds} \\ -\alpha &= \frac{dv}{ds}, & q - q_0 &= \frac{d\beta}{ds} \\ 0 &= -q_0 u + \frac{dw}{ds}, & r &= -\alpha q_0 + \frac{d\gamma}{ds} \end{aligned} \quad (1.2)$$

где  $p_0 = 0, q_0, r_0 = 0$  — начальные кривизны и кручение,  $(u, v, w)$  — проекции вектора смещения на оси  $x_0, y_0, z_0$ . Уравнения Кирхгофа-Клебша связывают 15 неизвестных величин. Для упругих стержней-полос дополнительными уравнениями служат соотношения Кирхгофа

$$L_x = A_0 p, \quad L_y = B_0 (q - q_0), \quad L_z = C_0 r \quad (1.3)$$

где  $A_0, B_0$  — жесткости при изгибе, а  $C_0$  — жесткость при кручении.

В нашу задачу входит установление аналогичных соотношений в случае упруго-пластической деформации. При этом, имея в виду решение задач устойчивости, мы ограничимся рассмотрением бесконечно малых возмущений изгиба и кручения, накладывающихся на основное состояние упруго-пластического изгиба полосы в своей плоскости.

Рассмотрим случай прямой полосы ( $p_0 = q_0 = r_0 = 0$ ). Примем, что до потери плоской формы изгиба  $V_{z0} = 0$ ; тогда  $V_z$  — малая величина. Пусть после выпучивания внешние силы сохраняют прежние величину и направление. Тогда  $F_x$  отличается от  $F_{x0}$  на величины второго порядка малости (см. таблицу косинусов).

Из первого уравнения левой группы (1.1) вытекает, что  $V_x$  может отличаться от  $V_{x0}$  лишь на величины второго порядка малости. Но тогда из второго уравнения правой группы (1.1) следует, что  $L_y$  отличается от  $L_{y0}$  также лишь величинами второго порядка малости. Заметим, что так как  $L_y$  — конечная величина, то  $L_x$  и  $L_z$  имеют первый порядок малости.

**2. Исходные положения.** До потери плоской формы равновесия в полосе имеются лишь напряжения изгиба  $\sigma_z$ . Сечение полосы примем в виде вытянутого прямоугольника (фиг. 2), так что

$$\frac{h}{b} \equiv \Lambda \gg 1 \quad (2.1)$$

Будем считать, что материал полосы следует теории малых упруго-пластических деформаций, причем за пределом упругости выполняется условие пластичности Мизеса (фиг. 3)

$$T^2 = \text{const} = \tau_s^2 \quad (2.2)$$

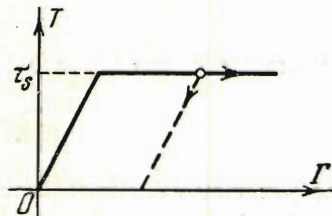
где  $T$  — интенсивность касательных напряжений, а  $\tau_s$  — предел текучести при сдвиге

$$\tau_s \sqrt{3} = \sigma_s$$

Тогда при  $|x| < \xi$  мы имеем упругое ядро, а при  $|x| > \xi$  — пластические зоны, причем

$$\frac{\xi}{h} \equiv \zeta = \sqrt{3} \sqrt{1 - \frac{|L_y|}{M_s}} \quad (0 \leq \zeta \leq 1) \quad (2.3)$$

где  $L_y$  — изгибающий момент, а  $M_s = \sigma_s b h^2$  — предельный изгибающий момент. По гипотезе плоских сечений  $\varepsilon_z = \pm \varphi x$ , где  $\varphi$  — кривизна. В упругом ядре  $\sigma_z = E \varepsilon_z$ ; так как  $\sigma_z = \sigma_s$  при  $x = \xi$ , то



Фиг. 3

$$\varphi = \frac{\sigma_s}{E} \frac{1}{\xi}$$

Нетрудно видеть, что сравнительно небольшим деформациям ( $\varepsilon_z, \max \sim 1 \div 2\%$ ) отвечают изгибающие моменты, близкие к предельному  $M_s$ . Поэтому принятая схема идеальной пластичности хорошо охватывает

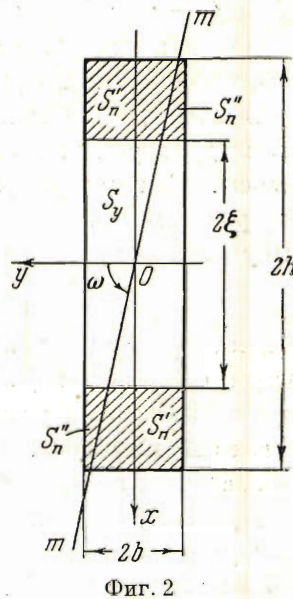
условия работы балок из обычных сталей с четкой площадкой текучести.

При бесконечно малом выпучивании полоса испытывает дополнительные деформации. Так же, как и в упругом случае, эти деформации состоят из изгиба полосы и скручивания ее.

Компонентами напряжения  $\sigma_y$ ,  $\tau_{yz}$ ,  $\tau_{xy}$  можно пренебречь, так как боковые поверхности полосы свободны от напряжений, а толщина полосы мала; напряжением  $\sigma_x$  также пренебрегаем, поскольку давление волосков друг на друга отсутствует при изгибе и при кручении.

При пластическом деформировании компоненты напряжения и деформации связаны уравнениями теории малых упруго-пластических деформаций (см., например, [3])

$$\sigma_x = \frac{1}{3} \left( \frac{1}{k} - \frac{2\tau_s}{\Gamma} \right) \varepsilon + \frac{2\tau_s}{\Gamma} \varepsilon_x, \quad \tau_{xy} = \frac{\tau_s}{\Gamma} \gamma_{xy} \quad \text{и т. д.} \quad (2.4)$$



Фиг. 2

где  $\varepsilon = \varepsilon_x + \varepsilon_y + \varepsilon_z$ ,  $k = (1 - 2\nu) / E$  ( $\nu$  — число Пуассона), а интенсивность

$$\Gamma = \sqrt{\frac{2}{3}} \sqrt{(\varepsilon_x - \varepsilon_y)^2 + (\varepsilon_y - \varepsilon_z)^2 + (\varepsilon_z - \varepsilon_x)^2 + \frac{3}{2} (\gamma_{xy}^2 + \gamma_{yz}^2 + \gamma_{zx}^2)}$$

Напряжения, представляемые формулами (2.4), удовлетворяют условию пластиичности (2.2). При упругом деформировании выполняется закон Гука.

В силу приведенных соотношений и пренебрежения напряжениями  $\tau_{xy}$ ,  $\tau_{yz}$  следует учитывать лишь сдвиг  $\gamma_{xz}$ , характеризующий скручивание полосы. Как при упругом, так и при пластическом изгибе и кручении деформации носят одинаковый характер, поэтому мы принимаем, что при выпучивании приращения деформаций равны:

$$\delta\varepsilon_z = \kappa_2 x + \kappa_1 y, \quad \delta\gamma_{xz} = -2\kappa_3 y \quad (2.5)$$

где  $\kappa_1$ ,  $\kappa_2$  — изменения кривизн, а  $\kappa_3$  — кручение на единицу длины. Второе соотношение (2.5) заимствовано из задачи о пластическом скручивании узкого прямоугольника. Принятые положения в общем аналогичны гипотезам Кирхгофа, которые обычно лежат в основе теории упругого и пластического изгиба пластин и оболочек (см. [2]).

При выпучивании часть сечения будет испытывать нагрузку, часть — разгрузку соответственно знаку  $\delta\Gamma$  или, что то же, соответственно знаку работы деформации  $T\delta\Gamma$ . Нетрудно видеть, что в нашем случае

$$T\delta\Gamma = \sigma_z \delta\varepsilon_z + \text{величина второго порядка малости}$$

Следовательно, нагрузка и разгрузка различаются по знаку  $\delta\varepsilon_z$ ; граница определяется уравнением  $\delta\varepsilon_z = 0$ , т. е.

$$\kappa_2 x + \kappa_1 y = 0 \quad (2.6)$$

Эту прямую (*Om* на фиг. 2) условимся называть линией раздела. Очевидно, что

$$\operatorname{tg}\omega = -\frac{\kappa_1}{\kappa_2} \quad (2.7)$$

При  $-\omega_1 \leq \omega \leq \omega_1$ , где  $\operatorname{tg}\omega_1 = \xi/b$ , линия раздела лежит в сечении  $S_y$  упругого ядра и тогда области пластической деформации полностью находятся либо в состоянии нагрузки, либо в состоянии разгрузки.

При  $\omega_1 \leq \omega \leq \pi - \omega_1$  линия раздела пересекает зоны пластической деформации (фиг. 2); при этом в  $S_{\Pi}'$  происходит нагружка (разгрузка), а в  $S_{\Pi}''$  — разгрузка (нагружка). Подсчитаем изменения моментов  $L_x$ ,  $L_y - L_{y0}$ ,  $L_z$ , обусловленные бесконечно малым выпучиванием полосы; прежде всего найдем вариации напряжений  $\delta\sigma_z$ ,  $\delta\tau_{xz}$ .

В упругой области  $S_y$  и зонах разгрузки справедлив закон Гука ( $E$  — модуль Юнга,  $G$  — модуль сдвига)

$$\delta\sigma_z = E\delta\varepsilon_z, \quad \delta\tau_{xz} = G\delta\gamma_{xz} \quad (2.8)$$

В зонах нагружения ( $S_{\Pi}'$  или  $S_{\Pi}''$ ) должно выполняться условие пластиичности Мизеса

$$(\sigma_z + \delta\sigma_z)^2 + 3(\delta\tau_{xz})^2 = \sigma_s^2$$

Отбрасывая малые второго порядка, получаем

$$\delta\sigma_z = 0 \quad (2.9)$$

В силу соотношений (2.4)

$$\delta\tau_{xz} = \frac{\tau_s}{\Gamma} \delta\gamma_{xz}$$

Найдем  $\Gamma$ . В состоянии плоского изгиба  $\varepsilon_y = \varepsilon_x$ ,  $\gamma_{xy} = \gamma_{yz} = \gamma_{zx} = 0$ ,  $\sigma_2 = \sigma_s$ ; следовательно,

$$\varepsilon_x = \varepsilon_y = \frac{1}{2} \left( \frac{1-2\nu}{E} \sigma_z - \varepsilon_z \right), \quad \Gamma = \sqrt{3} \left( |\varepsilon_z| - \frac{1-2\nu}{3E} \sigma_s \right) \quad (2.10)$$

Так как  $\varepsilon_z = \pm \rho x$ , то при  $\nu = \frac{1}{3}$

$$\delta\tau_{xz} = -6E\kappa_3 \frac{y}{9|x|/\xi - 1} \quad (2.11)$$

Перейдем к вычислению приращений моментов (нетрудно видеть, что приращения усилий  $V_x$ ,  $V_y$ ,  $V_z$  равны нулю вследствие нечетности  $\delta\tau_{xz}$ ,  $\delta\sigma_z$  и расположения областей  $S_{\pi}'$ ,  $S_{\pi}''$ ). Очевидно, что

$$L_x = \iint \delta\sigma_z y \, dx \, dy, \quad L_y - L_{y0} = \iint \delta\sigma_z x \, dx \, dy \quad (2.12)$$

где интегрирование распространяется на всю площадь поперечного сечения. Скручивающий момент

$$L_z = -2 \iint \delta\tau_{xz} y \, dx \, dy \quad (2.13)$$

Заметим здесь следующее. Вообще говоря, скручивающий момент

$$M_{kp} = \iint (x\tau_{yz} - y\tau_{xz}) \, dx \, dy$$

причем в задаче кручения

$$M_{kp} = 2 \iint x\tau_{yz} \, dx \, dy = -2 \iint y\tau_{xz} \, dx \, dy$$

Пренебрегая в приближенном решении касательными напряжениями  $\tau_{yz}$ , нельзя пренебречь моментом, ими вызываемым. Так как в задаче кручения (как упругого, так и пластического)

$$M = -2 \iint y\tau_{xz} \, dx \, dy$$

то вполне возможно применить это соотношение и в нашей задаче, где имеется состояние осложненного кручения.

Соотношения (2.12) и (2.13) связывают вариации моментов  $L_x$ ,  $L_y - L_{y0}$ ,  $L_z$  с вариациями напряжений. Ранее было установлено, что с точностью до малых второго порядка  $L_y = L_{y0}$ ; следовательно, мы имеем уравнение

$$\iint \delta\sigma_z x \, dx \, dy = 0 \quad (2.14)$$

связывающее параметры  $\kappa_1$  и  $\kappa_2$ .

Нетрудно видеть, что при  $-\omega_1 \leq \omega \leq \omega_1$   $L_y - L_{y0} = \frac{4}{3} Eb\xi^3 \kappa_2$  при нагружении,  $L_y - L_{y0} = \frac{4}{3} Ebh^3 \kappa_2$  при разгрузке. Но тогда  $\kappa_2 = 0$ ; следовательно,  $\operatorname{tg} \omega = \pm \infty$  и мы впадаем в противоречие. Таким образом, линия раздела всегда пересекает область пластической деформации.

**3. Положение линии раздела.** Предполагая для определенности, что нагрузка происходит в  $S_{\Pi}'$ , а разгрузка в  $S_{\Pi}''$ , находим развернутую форму уравнения (2.14):

$$\left(\frac{2}{3}b\xi^3 + I_{xx}\right)x_2 + x_1I_{xy} = 0 \quad (3.1)$$

где  $I_{xx}$  — момент инерции одной из площадей  $S_{\Pi}''$  (например, при  $x > 0$ ) относительно оси  $y$ , а  $I_{xy}$  — центробежный момент инерции той же площади. Нетрудно найти значения моментов инерции:

$$I_{xx} = \begin{cases} \frac{1}{12}b^4\Lambda^3(3\xi\Psi - 4 + \xi^{-3}\Psi^{-3})\xi^3 & (1 \leq \Psi \leq \xi^{-1}) \\ \frac{1}{12}b^4\Lambda^3[4(1 + \xi + \xi^2) - 3\Psi(1 + \xi + \xi^2 + \xi^3)](1 - \xi) & (-1 \leq \Psi \leq 1) \end{cases}$$

$$I_{yy} = \begin{cases} \frac{1}{12}b^4\Lambda(3\xi^{-1}\Psi^{-1} - 4 + \xi^3\Psi^3)\xi & (1 \leq \Psi \leq \xi^{-1}) \\ \frac{1}{12}b^4\Lambda[4(1 - \xi) - \Psi^3(1 - \xi^4)] & (-1 \leq \Psi \leq 1) \end{cases}$$

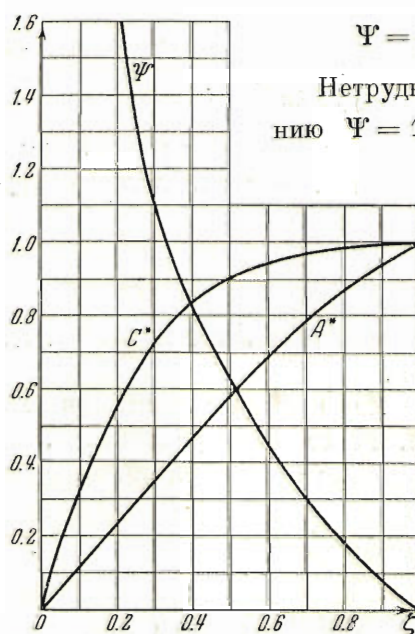
$$I_{xy} = \begin{cases} \frac{1}{8}b^4\Lambda^2(\Psi^2\xi^2 - 2 + \xi^{-2}\Psi^{-2})\xi^2 & (1 \leq \Psi \leq \xi^{-1}) \\ \frac{1}{8}b^4\Lambda^2[2 - \Psi^2(1 + \xi^2)](1 - \xi^2) & (-1 \leq \Psi \leq 1) \end{cases}$$

Здесь введено обозначение  $\Psi = \Lambda \operatorname{ctg} \omega$ . Внося  $I_{xx}$ ,  $I_{xy}$  в (3.1), получаем

$$3\xi^4\Psi^4 + 8\xi^3\Psi^3 + 6\xi^2\Psi^2 - 1 = 0 \quad (1 \leq \Psi \leq \xi^{-1}) \quad (3.2)$$

$$-3\Psi^2(1 - \xi^4) + 8(1 + \xi^3)\Psi - 6(1 - \xi^2) = 0 \quad (-1 \leq \Psi \leq 1) \quad (3.3)$$

Решение уравнения (3.3) можно представить в следующем виде:



Фиг. 4

Нетрудно видеть, что  $\Psi \geq 0$ ; при этом значению  $\Psi = 1$  отвечает  $\zeta = \frac{1}{3}$ . Формула (3.4) дает значения  $0 \leq \Psi \leq 1$ , соответствующие  $1 \geq \zeta \geq \frac{1}{3}$ . Так как  $\zeta\Psi = \frac{1}{3}$  является корнем и уравнения (3.2), то

$$\Psi = \frac{1}{3\zeta} \quad \text{при } 0 \leq \zeta \leq \frac{1}{3} \quad (3.5)$$

Заметим, что  $\Psi$  и  $d\Psi/d\zeta$  непрерывны при  $\zeta = \frac{1}{3}$ . В табл. 1 даны значения, а на фиг. 4 график функции  $\Psi$  в зависимости от параметра  $\zeta$ .

Таким образом,  $\Psi$  — однозначная функция  $\zeta$ , причем  $\Psi \geq 0$ . Область нагрузки всегда больше области разгрузки (при упруго-пластическом изгибе). При упругом изгибе линия раздела совпадает с осью  $x$ , при

упруго-пластическом она наклонена, причем с уменьшением  $\zeta$  линия раздела все более приближается к горизонтальной оси.

Таблица 1

$\zeta$	0.05	0.10	0.15	0.20	0.25	0.30	0.35	0.40	0.45	0.50
$\Psi$	6.67	3.33	2.22	1.67	1.33	1.11	0.947	0.826	0.714	0.622
$A^*$	0.0593	0.118	0.178	0.237	0.296	0.356	0.417	0.474	0.533	0.590
$C^*$	0.203	0.334	0.462	0.563	0.653	0.733	0.800	0.843	0.880	0.906
$\zeta$	0.55	0.60	0.65	0.70	0.75	0.80	0.85	0.90	0.95	1.00
$\Psi$	0.532	0.454	0.37	0.31	0.24	0.18	0.13	0.08	0.04	0.00
$A^*$	0.644	0.696	0.747	0.792	0.836	0.875	0.911	0.944	0.973	1.00
$C^*$	0.932	0.948	0.962	0.972	0.978	0.985	0.990	0.995	0.998	1.00

**4. Основные соотношения.** Рассмотрим первое из соотношений (2.12); в развернутой форме оно таково:

$$L_x = 2E \left[ \frac{2}{3} \xi b^3 + I_{yy} - I_{xy} \operatorname{ctg} \omega \right] x_1$$

Это соотношение в силу связи между  $\Psi$  и  $\zeta$  можно представить в виде

$$L_x = A(\zeta) x_1 \quad (4.1)$$

где

$$A(\zeta) = A_0 A^*(\zeta); \quad A_0 = \frac{4}{3} E b^4 \Lambda, \quad A^*(1) = 1$$

Используя (3.3), (3.5), находим

$$A^*(\zeta) = \begin{cases} \frac{27}{27} \zeta & \text{при } \zeta \leq \frac{1}{3} \\ \frac{1}{2} \left[ (1 + \zeta) - (1 - \zeta^2) \Psi + \frac{4}{3} (1 + \zeta^3) \Psi^2 \right] & \text{при } \zeta \geq \frac{1}{3} \end{cases} \quad (4.2)$$

где в интервале  $\frac{1}{3} \leq \zeta \leq 1$  следует брать  $\Psi$  по (3.4). Заметим, что  $A^*(\zeta)$  и  $dA^*/d\zeta$  непрерывны при  $\zeta = \frac{1}{3}$ ; на границе упругого и упруго-пластического отрезков полосы (т. е. при  $\zeta = 1$ ) производная  $dA^*/d\zeta$  терпит разрыв:

$$\left[ \frac{dA^*}{d\zeta} \right]_{\zeta=1} = \begin{cases} \frac{1}{2} & \text{в упруго-пластическом отрезке} \\ 0 & \text{в упругом отрезке} \end{cases}$$

В табл. 1 приведены значения функции  $A^*(\zeta)$ , а на фиг. 4 показан график  $A^*(\zeta)$ .

Рассмотрим теперь соотношение (2.13). В упругом ядре  $S_y$  и зоне разгрузки  $S_{n''}$  имеем  $\delta \tau_{xz} = \frac{3}{4} E y \kappa_3$  (принято  $\nu = \frac{1}{3}$ ), в области нагрузки  $S_n$  справедливо (2.11). Проведя несложные, но несколько громоздкие вычисления, получаем

$$L_z = C(\zeta) \kappa_3 \quad (4.3)$$

где

$$C(\zeta) = C_0 C^*(\zeta) \quad C_0 = 2 E b^4 \Lambda, \quad C^*(1) = 1$$

Функция  $C^*(\zeta)$  имеет вид:

$$C^*(\zeta) = \begin{cases} \frac{4}{27} \left[ 11 - \frac{1}{9} \Phi \left( \frac{13}{4} \right) \right] \zeta + \frac{8}{9} \zeta \ln \zeta & \text{при } \zeta \leq \frac{1}{3} \\ \frac{1}{8} (1 + \zeta) - \frac{1}{8} (1 - \zeta^4) \Psi^3 + \frac{4}{9} [(1 + \Psi^3) \ln \zeta - \zeta^3 \Psi^3 \Phi(\zeta)] \zeta & \text{при } \zeta \geq \frac{1}{3} \end{cases} \quad (4.4)$$

где

$$\zeta = \frac{9 - \zeta}{8\zeta}, \quad \Phi(u) = \frac{512}{243} \left[ \frac{109}{576} - \left( \frac{u^3}{9} + \frac{u^2}{16} + \frac{u}{64} \right) + \left( \frac{u^3}{3} + \frac{u^2}{8} + \frac{u}{64} \right) \ln u \right]$$

Легко видеть, что  $\Phi(1) = 0$ , а  $C^*(0) = 0$ . Заметим далее, что  $C^*(\zeta)$  и  $dC^*/d\zeta$  непрерывны при  $\zeta = \frac{1}{3}$  и  $\zeta = 1$  (т. е. на границе упругого и упруго-пластического отрезков полосы). Значения функции  $C^*(\zeta)$  даны в табл. 1, график показан на фиг. 4.

Итак, для рассматриваемых задач устойчивости плоской формы изгиба полосы вместо первого и третьего уравнений Кирхгофа (1.3) имеем соотношения

$$L_x = A(\zeta)p; \quad L_z = C(\zeta)r \quad (4.5)$$

где от обозначений  $x_1, x_3$  мы вернулись к прежним обозначениям  $p, r$ . Соотношения (4.5), как и в теории Кирхгофа, строго говоря, справедливы для состояний чистого изгиба и кручения. Однако, следуя общей схеме построения теории тонких стержней, хорошо подтверждаемой опытами, можно распространить соотношения (4.5) и на более сложные случаи, рассматривая (4.5) как дифференциальные соотношения. При этом коэффициенты  $A(\zeta), C(\zeta)$  будут известными функциями  $s$ ; используя уравнения Кирхгофа-Клебша, мы придем к обыкновенным однородным линейным дифференциальным уравнениям с переменными коэффициентами и однородными краевыми условиями. Критическая нагрузка будет соответствовать одному из собственных значений задачи.

Так как  $A(\zeta)$  и  $C(\zeta)$  будут довольно сложными функциями  $s$ , то разыскание собственных значений путем использования интегралов дифференциального уравнения связано с значительными трудностями, хотя и можно указать различные приемы упрощения вычислений.

**5. Энергетический метод.** Простота вычислений может быть достигнута при помощи энергетического метода, вполне аналогичного известному методу С. П. Тимошенко. В самом деле, соотношения (4.5) можно рассматривать как соотношения задачи об устойчивости плоской формы изгиба упругой полосы переменного сечения; тогда энергетическое уравнение Тимошенко полностью сохраняет свой вид. Мы получим это уравнение, приравнивая энергию бокового изгиба и кручения при бесконечно малом выпучивании работе внешних сил при выпучивании. Уместно отметить, что в нашей задаче кривизна в плоскости основного изгиба несколько изменяется ( $x_2 \neq 0$ ) в отличие от упругого случая, когда  $x_2 = 0$ . На это изменение можно не обращать внимания, так как соответствующее прращение энергии

$$\int_0^l L_y \frac{d^2 u}{ds^2} ds$$

равно, как в этом нетрудно убедиться, в силу уравнений Кирхгофа и условий закрепления работы внешних сил на тех же смещениях  $u$ , поэтому можно без всякого ущерба исключить эти слагаемые из энергетического уравнения.

Приращение энергии деформации вследствие выпучивания равно ( $l$  — длина полосы):

$$\Pi = \int_0^l \frac{L_x^2 ds}{2A(\zeta)} + \frac{1}{2} \int_0^l C(\zeta) \left( \frac{d\gamma}{ds} \right)^2 ds \quad (5.1)$$

так как для прямой полосы  $L_x = C(\zeta) d\gamma / ds$ .

Заметим, что согласно первому из уравнений второй группы (1.1)  $L_x$  выражается через  $L_{y0}$  и  $\gamma$ . При интегрировании нужно различать упругие и упруго-пластические участки балки.

Приращение энергии  $\Pi$  равно работе  $R$  внешних сил на смещениях от выпучивания:

$$\Pi = R \quad (5.2)$$

Если перейти к безразмерным величинам, положив

$$s = lt, \quad A(\zeta) = A_0 A^*(\zeta), \quad C(\zeta) = C_0 C^*(\zeta)$$

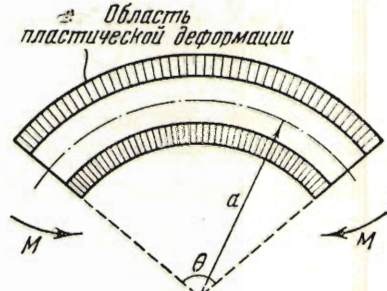
то уравнение (5.2) будет содержать два безразмерных параметра:

$$\mu = \frac{|L_y|_{\max}}{M_s}, \quad \lambda = \frac{M_s l}{V A_0 C_0} \quad (5.3)$$

где  $|L_y|_{\max}$  — максимальный изгибающий момент. Параметр  $\mu$  (параметр нагрузки,  $\mu \leq 1$ ) входит весьма сложным образом как в подинтегральные выражения, так и в пределы интегрирования (границы участков). Параметр  $\lambda$  (гибкость полосы) входит в уравнение очень просто в виде множителя  $\lambda^2$  при одном из слагаемых. Решение минимума  $\lambda^2$  при данном  $\mu$  приводится по методу Ритца к решению системы линейных алгебраических уравнений и по сравнению с упругой задачей лишь несколько сложнее (в смысле вычисления квадратур).

**6. Устойчивость плоской формы изгиба круговой полосы, изгибающейся парами.** Полоса с круговой осью радиуса  $a$  и центральным углом  $\theta$  изгибаются парами  $M$ , приложенными по концам и действующими в плоскости полосы (фиг. 5). В этой задаче  $L_y = \text{const} = M$ ,  $\zeta = \text{const}$ ; следовательно,  $A(\zeta)$  и  $C(\zeta)$  постоянны. Поэтому решение задачи не отличается от решения соответствующей упругой задачи; достаточно в решении упругой задачи заменить  $A_0$ ,  $C_0$  величинами  $A(\zeta)$ ,  $C(\zeta)$ . При условиях закрепления

$$s = 0, \quad \gamma = 0, \quad s = a\theta, \quad \gamma = 0$$



Фиг. 5

критический момент (верхний знак соответствует направлению моментов, показанному на фиг. 5, нижний — обратному)

$$M = \frac{A(\zeta) + C(\zeta)}{2a} \pm \sqrt{\left[ \frac{A(\zeta) + C(\zeta)}{2a} \right]^2 - \frac{A(\zeta)C(\zeta)}{a^2} \left( 1 - \frac{\pi^2}{\theta^2} \right)}$$

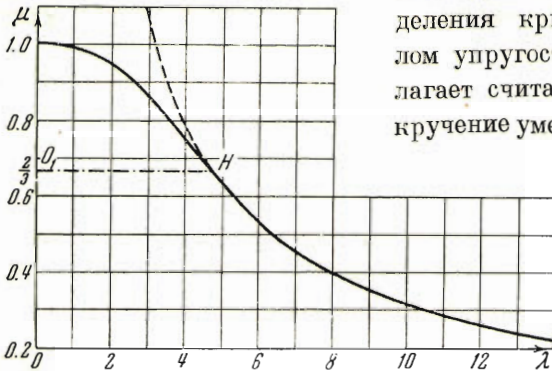
При  $a \rightarrow \infty$ ,  $a\theta \rightarrow l$  получим критический момент для прямой полосы

$$M = \frac{\pi}{l} \sqrt{A(\zeta) C(\zeta)}$$

или

$$\lambda = \frac{\pi}{\mu} \sqrt{A^*(\zeta) C^*(\zeta)}, \quad \mu = \frac{|M|}{M_s}, \quad \zeta = \sqrt{3(1-\mu)} \quad (6.1)$$

Эта кривая показана на фиг. 6; пунктиром нанесена кривая  $\lambda\mu = \pi$  для идеально упругой полосы. Для определения критической нагрузки за пределом упругости С. П. Тимошенко [1] предлагает считать, что жесткости на изгиб и кручение уменьшаются в отношении  $E_r/E$ , где  $E_r$  — модуль Кармана, подсчитанный по максимальному напряжению изгиба. Этот необоснованный прием искажает картину, так как для материала с площадкой текучести  $E_r=0$  и, следовательно, полоса теряет несущую способность



Фиг. 6

(по Тимошенко следует провести линию  $O_1H$ , фиг. 6).

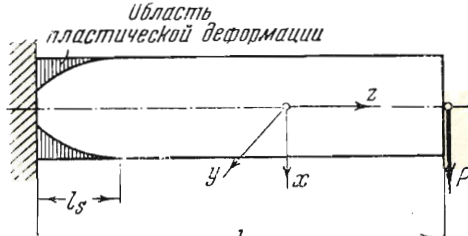
**7. Изгиб консоли.** Рассмотрим задачу об устойчивости плоской формы изгиба консоли силой  $P$ , приложенной в центре тяжести концевого сечения  $s = l$  (фиг. 7). Изгибающий момент  $L_y = Pl(1-t)$ , где, как и ранее,  $s = lt$ . Пластические деформации при изгибе возникнут, если

$$\mu = \frac{Pl}{M_s} > \frac{2}{3}$$

При этом

$$\zeta = \sqrt{3} \sqrt{1-\mu(1-t)} \quad (7.1)$$

$$\frac{l_s}{l} = 1 - \frac{2}{3} \frac{1}{\mu} \leqslant \frac{1}{3}$$



Фиг. 7

До потери устойчивости имеем  $V_{x_0} = P$ ,  $V_{y_0} = V_{z_0} = 0$ . Для бесконечно близкой отклоненной формы  $V_x = P$ ,  $V_y = -\gamma P$ ,  $V_z = \beta P$  и первое из уравнений второй группы (1.1) принимает вид:

$$\frac{dL_x}{dt} - \frac{d\gamma}{dt} L_y + Pl\gamma = 0$$

Отсюда вытекает, что

$$L_x = Pl(1-t)\gamma \quad (7.2)$$

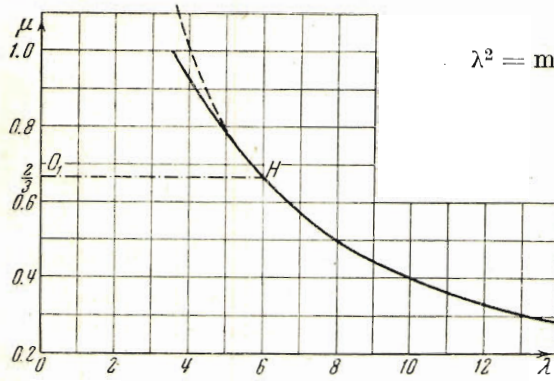
Третье из уравнений второй группы (1.1) после отбрасывания малых второго порядка приводится с помощью (4.5) к виду

$$\frac{d}{dt} \left[ C^*(\zeta) \frac{d\gamma}{dt} \right] + \lambda^2 \mu^2 \frac{(1-t)^2}{A^*(\zeta)} \gamma = 0 \quad (7.3)$$

Краевые условия таковы:

$$\gamma = 0 \quad \text{при } t = 0, \quad \frac{d\gamma}{dt} = 0 \quad \text{при } t = 1 \quad (7.4)$$

Этой задаче эквивалентна задача о минимуме



Фиг. 8

$$\lambda^2 = \min \frac{1}{\mu^2} \frac{\int_0^1 C^*(\zeta) \left(\frac{d\gamma}{dt}\right)^2 dt}{\int_0^1 (1-t)^2 \gamma^2 dt} \quad (7.5)$$

к которой нетрудно притти и непосредственно, если в уравнение (5.2) внести (7.2) и работу

$$R = Pl^2 \int_0^1 p(1-t)\gamma dt$$

Следуя методу Ритца, полагаем

$$\gamma = t(t-2) + c\left(t - \frac{3}{2}\right)t^2$$

где  $c$ —подлежащая определению постоянная. Если сохранить здесь только первое слагаемое ( $c=0$ ) и рассмотреть случай упругой полосы ( $A^*=C^*=1$ ), то легко найдем  $\lambda\mu = 4.18$ , что уже близко к точному значению  $\lambda\mu = 4.012$ ; если удержать  $c$ , то получим  $\lambda\mu = 4.021$ , что отличается от точного значения менее чем на  $0.25\%$ . При решении упруго-пластической задачи удобно (7.5) представить в виде ( $l' = l_s / l$ )

$$\lambda^2 = \min \frac{1}{\mu^2} \frac{\int_0^1 \left(\frac{d\gamma}{dt}\right)^2 dt - \int_0^{l'} [1 - C^*(\zeta)] \left(\frac{d\gamma}{dt}\right)^2 dt}{\int_0^1 (1-t)^2 \gamma^2 dt + \int_0^{l'} \left[\frac{1}{A^*(\zeta)} - 1\right] (1-t)^2 \gamma^2 dt}$$

Интегралы в пределах  $(0, 1)$  легко вычисляются, интегралы в пределах  $(0, l')$  находим численно при фиксированных  $\mu$ . Как и в упругом случае, первое приближение близко к второму. Граница устойчивости показана на фиг. 8; она мало отличается от упругой (пунктир), что объясняется неизначительным распространением пластических зон и тем, что максимальные пластические деформации локализуются вблизи заделки. Линия  $O_1H$  проведена по Тимошенко.

**8. Изгиб полосы с опертыми концами равномерной нагрузкой.** Рассмотрим задачу о выпучивании [полосы с свободно опертыми концами, изгибаемой нагрузкой, равномерно распределенной вдоль оси (фиг. 9)]. Обозначим длину полосы через  $2l$ , всю нагрузку — через  $2Q$ ; будем  $s$  отсчитывать от середины ( $s = lt$ ). Тогда

$$F_x = \frac{Q}{l}, \quad V_x = -Qt, \quad L_y = -\frac{1}{2}Ql(1-t^2) \\ \zeta = \sqrt{3}\sqrt{1-\mu(1-t^2)}, \quad \mu = \frac{1}{2}\frac{Ql}{M_s}, \quad l' = \sqrt{1-\frac{2}{3\mu}} \quad (8.1)$$

С помощью уравнений Кирхгофа нетрудно получить

$$F_y = -\frac{Q}{l} \gamma, \quad V_y = Qt\gamma, \quad L_x = L_y \gamma \quad (8.2)$$

Используя третье из уравнений второй группы (1.1) и соотношения (4.5), находим дифференциальное уравнение задачи:

$$\frac{d}{dt} \left[ C^*(\zeta) \frac{d\gamma}{dt} \right] + \lambda^2 \mu^2 \frac{(1-t^2)^2}{A^*(\zeta)} \gamma = 0 \quad (8.3)$$

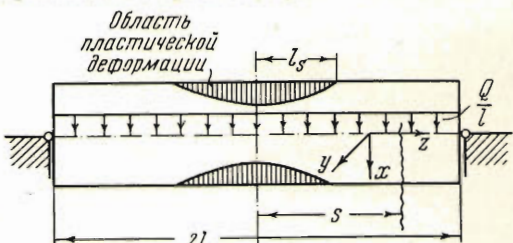
Границные условия в рассматриваемом случае будут

$$\gamma = 0 \text{ при } t = \pm 1 \quad (8.4)$$

Эквивалентная минимальная задача  $(8.5)$

$$\lambda^2 = \min_{\mu^2} \frac{1}{\mu^2} \int_0^1 C^*(\zeta) \left( \frac{d\gamma}{dt} \right)^2 dt$$

$$\int_0^1 \frac{(1-t^2)^2}{A^*(\zeta)} \gamma^2 dt$$



Фиг. 9

Заметим, что при  $\mu = 1$  интеграл в знаменателе (8.5) расходится ( $\zeta = \sqrt{3}t$  при  $\mu = 1$  и  $A^*(\zeta) = \frac{32}{27}\sqrt{3t}$  при  $\zeta \leq \frac{1}{3}$ ) в отличие от предыдущей задачи, где  $A^* = \frac{32}{27}\sqrt{3t}$  при  $\zeta \leq \frac{1}{3}$   $\mu = 1$ . Следуя методу Ритца, полагаем

$$\gamma = (1-t^2) + c(1-t^2)^2$$

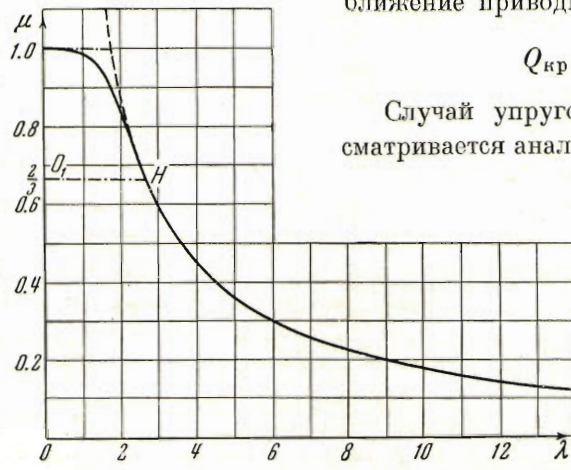
Для упругого случая ( $A^* = C^* = 1$ ) первое приближение ( $c = 0$ ) дает значение  $Q_{kp}$ , превышающее результат Тимошенко на  $2.26\%$ ; второе приближение приводит к результату Тимошенко

$$Q_{kp} = 3.54 \frac{\sqrt{A_0 C_0}}{l^2}$$

Случай упруго-пластического изгиба рассматривается аналогично тому, как это сделано

в § 7; отметим, что второе приближение мало отличается от первого. Вычисленная граница устойчивости (фиг. 10) существенно отклоняется от «упругой» границы (пунктир). Как и ранее, линия  $O_1 H$  проведена по Тимошенко.

В заключение заметим, что при других граничных



Фиг. 10

условиях мы придем к уравнению относительно  $v = v(s)$ .

Поступила 12 IX 1950

Ленинградский государственный университет

#### ЛИТЕРАТУРА

1. Тимошенко С. П. Устойчивость упругих систем. Гостехиздат. 1946
2. Ильюшин А. А. Пластичность. Гостехиздат. 1948.
3. Качанов Л. М. Механика пластических сред. Гостехиздат. 1948.